УДК 539.171, 519.684

М. Б. Какенов, Е. В. Земляная

Расчет сечений упругого рассеяния $^{11}{ m Li}$ + р с использованием оптического фолдинг-потенциала

Разработана MPI-реализация расчета микроскопического оптического нуклон-ядерного потенциала фолдинга. На гетерогенном кластере "HybriLIT" Многофункционального информационно-вычислительного комплекса (МИВК) Лаборатории информационных технологий ОИЯИ проведены расчеты фолдинг-потенциала и соответствующих дифференциальных сечений упругого рассеяния $^{11}Li+p$ при энергии 62 МэВ/нуклон. Демонстрируется согласие экспериментальных данных и результатов расчетов для различных распределений плотности ядра ^{11}Li , используемых при построении фолдинг-потенциала.

Ключевые слова: нуклон-ядерное рассеяние, изотопы лития, микроскопический оптический потенциал, модель фолдинга, параллельные вычисления

Об авторах

Какенов Мейржан Бейбутханович — магистрант кафедры ядерной физики государственного университета «Дубна», инженер Лаборатории информационных технологий Объединенного института ядерных исследований. *E-mail:* meirzhankakenov@gmail.com. 141981 Московская область, г. Дубна, ул. Университетская, 19.

Земляная Елена Валериевна — ведущий научный сотрудник Объединенного института ядерных исследований.

Одной из актуальных задач современной ядерной физики является исследование проблемы взаимодействия нуклонов с ядрами при низких энергиях. Метод рассеяния бесструктурных частиц (протонов и нейтронов) на ядрах позволяет получить информацию о механизмах ядерных реакций и свойствах ядерной материи. Экспериментальные данные по рассеянию экзотических ядер на протонах позволили лучше понять, как происходит взаимодействие между нуклонами ядра, и изучить свойства ядер в экстремальных состояниях.

Для анализа экспериментальных данных в теории ядерных реакций хорошо себя зарекомендовали микроскопические методы, в которых отсутствуют недостатки, имеющиеся у макроскопических (феноменологических) подходов. Микроскопические и полумикроскопические модели широко применяются для изучения механизмов ядерных реакций. Одной из наиболее популярных микро-

скопических моделей построения оптического потенциала является метод фолдинга. Изучение рассеяния экзотических ядер на протонах в рамках фолдинг-модели позволяет понять не только, как взаимодействуют нуклоны в такой системе, но и проверить существующие модели структуры атомного ядра на основе информации о том, как распределена ядерная материя.

Очень важным является то, что на основе фолдинг-модели и формализма матрицы плотности можно развить микроскопический метод, который учитывает оптические потенциалы и форм-факторы неупругих процессов с учетом обменных нуклон-нуклонных (NN) корреляций.

Теоретическая модель

Основная задача работы — выполнить расчеты микроскопического оптического потенциала (ОП), с его использованием рассчитать дифференциальные сечения упругого столкновения экзотического ядра 11 Li с протоном при энергии до $100~{\rm MpB/hyk}$ лон,

4 ISSN 1818-0744

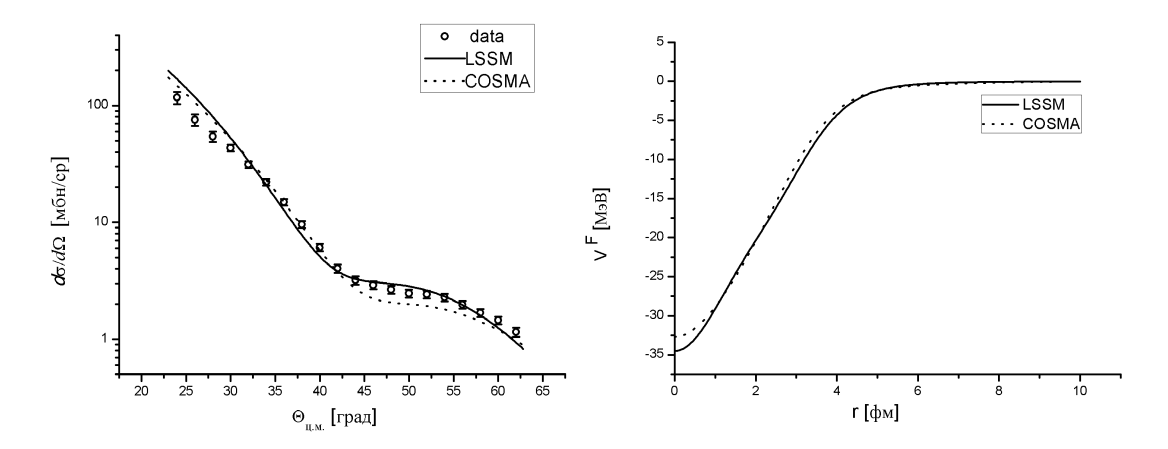


Рис. 1. Графики дифференциальных сечений (слева) упругого рассеяния ¹¹Li+р при энергии 62 МэВ/нуклон и соответствующих вещественных фолдинг-потенциалов (справа). Сплошной и пунктирной линией показаны расчеты для моделей плотности ядра ¹¹Li LSSM и COSMA соответственно

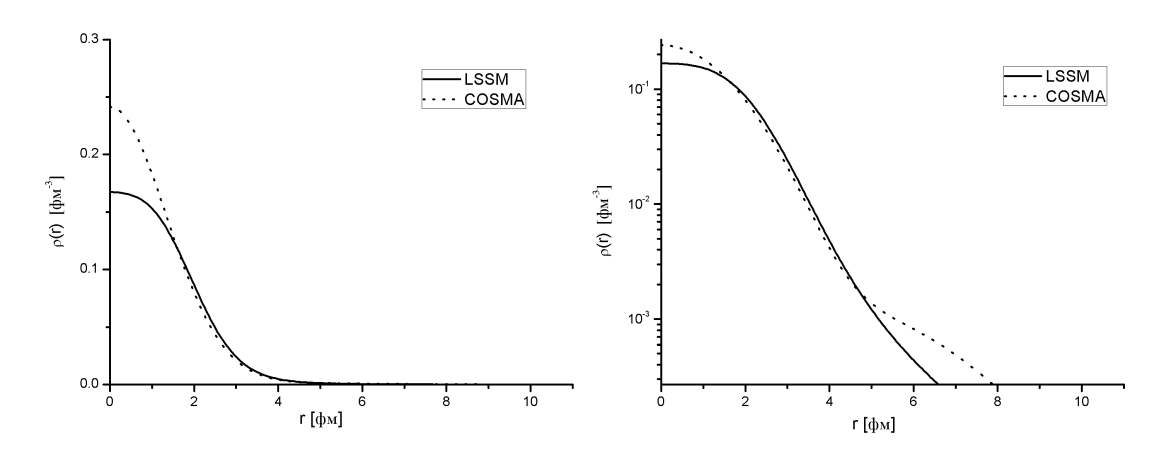


Рис. 2. Графики распределения ядерной материи в линейном (слева) и логарифмическом (справа) масштабах. Сплошной и пунктирной линией показаны распределения ядерной материи для моделей плотности ядра 11 Li LSSM и COSMA соответственно

сравнить с имеющимися экспериментальными данными. Для расчета оптического потенциала упругого рассеяния был использован микроскопический потенциал фолдинга (свертки) с учетом вклада обменной части [1]. Такой потенциал формально не имеет свободных параметров, а зависит от плотностных распределений нуклонов, слагающих ядро. В данной работе использованы две модели структуры распределений плотности ядра ¹¹Li: модель LSSM (large-scale shell model) [2] и полуэмпирическая модель COSMA [3]. Расчеты дифференциальных сечений упругого рассеяния проводились с помощью про-

граммы DWUCK4 [4]. Оптический потенциал в программе DWUCK4 использовался в форме $V_{opt} = N_R V^F + N_I V^F$, где V^F — вещественный потенциал свертки, рассчитанный для прямого и обменного потенциалов; N_R и N_I — коэффициенты, варьирующие вклад действительной и мнимой части потенциала. Эти два параметра подгоняются под экспериментальные данные.

На рис. 1 слева представлены графики расчитанных дифференциальных сечений упругого рассеяния ¹¹Li+p при энергии 62 МэВ/нуклон в сравнении с экспериментальными данными из [5], а также вещественная

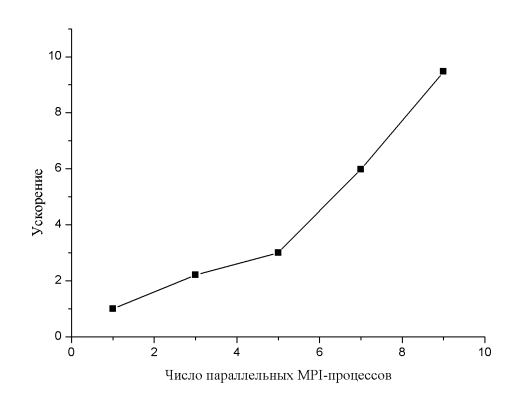


Рис. 3. График ускорения расчета фолдинг-потенциала для 11 Li+р при энергии 62 МэВ/нуклон при увеличении числа параллельных MPI-процессов

часть потенциала, рассчитанная с двумя разными моделями плотности ядра $^{11}{\rm Li}$. Во всех расчетах для данной реакции полагали $N_R=0.95$ и $N_I=0.45$. На рис. 2 представлены в линейном и логарифмическом масштабах плотности распределений ядерной материи для моделей LSSM и COSMA, использовавшихся в расчетах. Из представленных моделей только модель LSSM имеет близкое к экпоненциальному реалистическое поведение на асимптотике.

повышения производительно-Для сти вычислений расчет микроскопического фолдинг-потенциала потенциала реализован в параллельном режиме с использованием технологии МРІ. Все расчеты были проведены на гетерогенном кластере HybriLIT Многофункционального информационного вычислительного комплекса Лаборатории информационных технологии Объединенного института ядерных исследований (ЛИТ ОИЯИ), г. Дубна. Полученное ускорение вычислений в зависимости от количества задействованных параллельных МРІпроцессов представлено в таблице и на рис. 3. Расчет выполнен для плотности *LSSM* с

Ускорение вычисления фолдинг-потенциала для $^{11}{
m Li}+{
m p}$ при энергии 62 МэВ/нуклон при увеличении числа параллельных MPI-процессов

Число <i>МРІ</i> -	Время счета	Ускорение
процессов	(сек)	расчета (раз)
1	11.685	1
3	5.293	2.208
5	3.886	3.007
7	1.953	5.983
9	1.233	9.477

числом узлов дискретной сетки по пространственной координате 201. Представленные численные результаты подтверждают эффективность разработанной *MPI*-версии фолдинг-метода построения микроскопического оптического потенциала, который обеспечивает возможность реалистичного воспроизведения экспериментально наблюдаемых характеристик упругого протон-ядерного рассеяния.

Библиографический список

- Lukyanov K.V. Double Folding Model of Nucleus-Nucleus Potential: Formulae, Iteration Method and Computer Code // JINR Communication P11-2007-38.
- Karataglidis S. Alternative evaluations of halos in nuclei // Physical Review C. 2000.
 V. 61. P. 61–66.
- 3. Korsheninnikov A.A. et al. Scattering of radioactive nuclei ⁶He and ³H by protons: Effects of neutron skin and halo in ⁶He, ⁸He, and ¹¹Li // Nuclear Physics A. 1997. V. 617. P. 45–56.
- Kunz P.D., Rost E. The distorted-wave born approximation // Computational Nuclear Physics 2 / ed. by K. Langanke et al. 1993. P. 88–107.
- 5. Moon C.B. Measurements of ¹¹Li+p and ⁹Li+p elastic scatterings at 60 MeV // Physics Letters B. 1992. V. 297. P. 39–43.

Поступила в редакцию 26.12.2019